

## II-320 消波や海浜変形に及ぼす潜堤築造の効果

愛媛大学工学部 正員 伊福 誠  
愛媛県 正員 高石盛大  
愛媛大学大学院 学生員 金澤 剛

## 1. まえがき

近年、自然海岸線の減少や海浜の消失といった海岸工学上極めて重要な問題が生じており、そうした問題に対して干潟の造成や養浜のために砂の流失防止策として潜堤等が築造されている。潜堤近傍の消波効果について数値解析的に検討したものはあるが、海浜全域を対象とした消波効果等について検討したものはないようである。本研究では風波程度の比較的周期の短い波を対象として碎波によるエネルギー損失を段波を用いて評価し、傾斜海浜上に潜堤を設置した場合の波の変形や海浜変形について調べる。

## 2. 碎波によるエネルギー損失のモデル化

碎波限界は任意の時刻の空間波形の水面勾配で記述する(図1)。碎波によるエネルギー損失量は段波を用いて評価すると、断面jでのエネルギー損失量は

$$(E_b)_j = m_j \Delta E' / M \quad (1)$$

と表される。ここに、 $M = m_j + m_{j+1} + \dots + m_{j+k}$ ,  $\Delta E'$ は断面jと断面j+k間でのエネルギー損失量である。

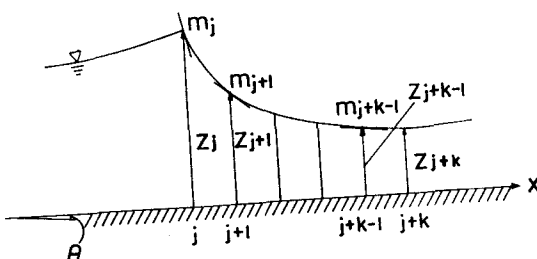


図1 碎波によるエネルギー損失の評価法

## 3. 基礎方程式

Barrede, St. Venantの方程式に碎波によるエネルギー損失を考慮した運動方程式と連続式は次のようになる。

$$U_t + U U_x + Z_x g \cos \theta + g S + g \sin \theta + g E_b + Q u / z = 0 \quad (2)$$

$$Z_t + U Z_x + Z U_x = Q \quad (3)$$

ここに、 $U$ は流速、 $g$ は重力の加速度、 $S = n^2 U |U| / R'^{4/3}$  ( $n$ : Manningの粗度係数、 $R'$ : 径深) であり、 $E_b$ は碎波によるエネルギー損失量、 $Q$ は単位時間、単位長さ当たりの側方からの流入量、 $Z$ は水面から海底までの深さ、添字の $x, t$ は場所、時間に関する微分を意味する。

海浜変形を計算する際の連続式は、空隙率を $\lambda$ とするとき式で表される。

$$\partial z_b / \partial t = - 1/(1-\lambda) \partial q_x / \partial x \quad (4)$$

ここに、 $z_b$ は任意の基準面から海底までの高さ、 $q_x$ は汀線と直角方向の漂砂量である。

## 4. 数値解析法

特性曲線法に基づき固定格子法を用いて解析する。線形内挿法と放物型内挿法で得た波高分布を比較すると、比較的周期の短い波を対象とする場合線形内挿法よりも放物型内挿法の方が浅水効果による波高の変化をうまく説明し得るので、放物型内挿法を使用する。

## 初期条件および境界条件

式(2)および(3)の初期条件および境界条件は

$$z(x_j, 0) = z_j \quad (j = 1, \dots, N) \quad (5)$$

$$\left. \begin{aligned} z(0, t) &= h_0 + \eta_i(t) + \eta_R(t) \\ u(x_u, t) &= - Q_0 / z(x_u, t) \end{aligned} \right\} \quad (6)$$

とする。ここに、 $z_j$ : 岸側の境界から仮想流量 $Q_0$ を流した際、不等流計算によって求めた各断面の水位、 $N$ : 断面の数、 $h_0$ : 断面0での平均水深、 $\eta_i(t), \eta_R(t)$ : 時刻 $t$ における入射波、反射波の水面変動量である。

一方、式(4)の初期条件は

$$z_b(x_j, 0) = (z_b)_j \quad (j = 1, \dots, N) \quad (7)$$

とする。ここに、 $(z_b)_j$ は各断面における任意の基準面から海底までの高さである。

底質の移動限界流速( $u_{bm}$ )<sub>c</sub>はKomar・Miller(1974)による経験式を用いる。

$$(u_{bm})_c^2 / (\rho_s' / \rho_f - 1) = 0.21 [(u_{bm})_c T / \pi d]^{1/2} \quad (8)$$

ここに、 $\rho_s'$ ,  $\rho_f$ はそれぞれ底質および流体の密度、 $d$ は底質の粒径、 $T$ は波の周期である。

漂砂量式は著者ら(1988)が波動場の解析で得た

$$q_x / w_0 d = 3.23 \theta^{0.61} \quad (9)$$

で評価する。ここに、 $w_0$ は静止流体中における物質の沈降速度、 $\theta$ は無次元相対応力であり

$$\theta = \rho_f u_{bm}^2 (\rho_s' - \rho_f) g d \quad (10)$$

と表される。波が碎ける際の波頂角はStokes(1932)、首藤(1976)や滝川ら(1983)により $120^\circ$ とする。Manningの粗度係数および単位幅当たりの仮想流量は長波伝播の解析において観測結果を良く再現した値、 $0.04 m^{-1/3} \cdot s$ および $5 \times 10^{-5} m^2 / s$ を用いる。底質の粒径および空隙率はそれぞ

れ、0.2 mmおよび0.5 mm、底質および流体の密度はそれぞれ $2.65 \text{ g/m}^3$ および $1.025 \text{ g/m}^3$ とする。また、式(8)、(10)中の $u_{sb}$ は式(2)と(3)から得た値を用いて評価する。なお、地形変化は波と流れの場に影響を及ぼさないと仮定する。

### 5. 海浜モデルおよび潜堤

傾斜海浜上に潜堤が設置された場合を考える。沖側の境界から一樣水深部までの水平距離が約30 m、そこから岸側の境界までの水平距離が約180 m、海浜勾配は $1/30$ である。潜堤の入り勾配は海岸保全施設築造基準解説(1987)に従い $1/5$ とする。潜堤の天端水深は潜堤上を小型船が航行する場合を想定し、1.5 mと2 mの二通り、潜堤の天端幅は5 m、10 m、20 mの三通りとする。

### 6. 解析結果

波高低減係数 $R_d$ を次式で定義し、

$$R_d = H_{sb}/H_s \quad (11)$$

潜堤の築造による波高の低減効果について検討する。

ここに、 $H_s$ 、 $H_{sb}$ は無堤の場合、潜堤がある場合の各断面での波高である。図2は波高低減係数を沖側の境界からの水平距離の無次元量 $\tilde{x}/H_0$ ( $H_0$ :深海波の波高)とともに示したものである。潜堤の沖側では潜堤の天端幅が10 mの場合、波高低減係数は0.92~1.05であり、無堤の場合の波高とほぼ同一であるが、潜堤の天端幅が5 m、20 mの場合には部分重複波の最小波高が生ずる付近では波高は20~30%程度小さくなる。潜堤の岸側の堤脚部から水深0.8 m付近までの波高低減係数は天端幅が5 m、10 mおよび20 mの場合、それぞれ、0.66、0.77および0.55程度である。潜堤の背後では潜堤の天端幅が広い場合ほど波高の低減効果が顕著であることがわかる。さらに、水深が浅くなると潜堤による波高の低減効果は薄れ、汀線付近では無堤の場合とほぼ同一の波高になる。こうした傾向は広天端幅潜堤を用いた不規則波による高山ら(1985)の実験結果と同一である。また、数値計算によって得た潜堤近傍での碎波の状況は永井ら(1975)の実験結果とも定性的に一致する。

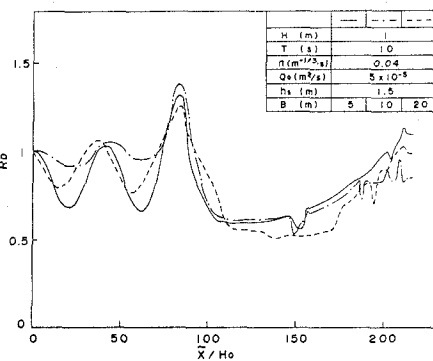
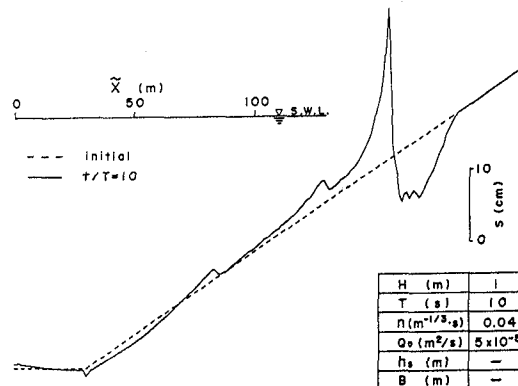
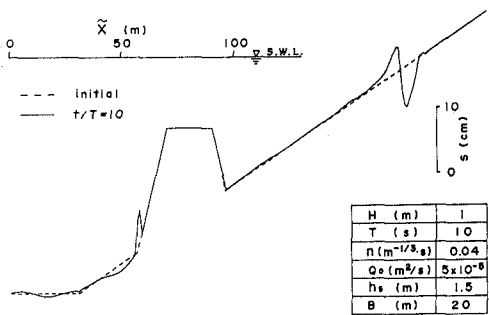


図2 波高低減係数と水平距離の無次元量の関係

図3に海浜がほぼ平衡状態に達した10周期目までの海浜変形を示す。(a)は無堤の場合、(b)は潜堤がある場合である。(a)によると、汀線より冲側約20 m付近に洗掘、それより約50 m沖側に堆積が生じている。また、汀線より冲側約50 mと約100 m付近に砂州の形成の可能性を示す堆積が生じている。(b)によると、汀線近傍の侵食は無堤の場合と比較するとかなり軽減されている。潜堤の沖側においては部分重複波の最小波高の生ずる位置付近で洗掘、最大波高の生ずる位置付近と潜堤の堤脚部付近に堆積が生じている。



(a) 無堤の場合



(b) 潜堤がある場合

図3 10周期目の海浜変形

図4に潜堤の堤脚部近傍の最大洗掘深さの無次元量と反射率の関係を植木(1957)の実験結果とともに示す。最大洗掘深さは反射率が増大するにつれて増大し、計算結果は植木の実験結果と良く似た傾向を示す。

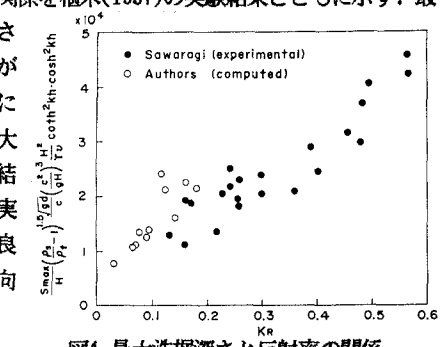


図4 最大洗掘深さと反射率の関係